

МОСКОВСКИЙ ФИЗИКО-ТЕХНИЧЕСКИЙ ИНСТИТУТ  
(ГОСУДАРСТВЕННЫЙ УНИВЕРСИТЕТ)  
ФАКУЛЬТЕТ ОБЩЕЙ И ПРИКЛАДНОЙ ФИЗИКИ  
КАФЕДРА ФИЗИКИ ВЫСОКИХ ЭНЕРГИЙ

Новоселов Алексей Анатольевич

**Рождение очарованных адронов  
в  $e^+e^-$ -аннигиляции**

Магистерская диссертация

Научный руководитель:  
д.ф.-м.н., профессор  
Лиходед А.К.

Рецензент:  
д.ф.-м.н. Бережной А.В.  
(НИИЯФ МГУ)

Протвино  
2009

## СОДЕРЖАНИЕ

<b>1. Введение</b>	<b>2</b>
<b>2. Пертурбативная функция фрагментации</b>	<b>4</b>
<b>3. Непертурбативная функция фрагментации</b>	<b>10</b>
<b>4. Результаты</b>	<b>12</b>
4.1. Рождение $D^*$ -мезонов и $\Lambda_C$ -барионов в $e^+e^- \rightarrow c\bar{c}$	14
4.2. Рождение $D$ -мезонов в $e^+e^- \rightarrow c\bar{c}$	17
4.3. Рождение $D^*$ -мезонов и $\Lambda_C$ -барионов в распадах $B$ -мезонов	22
<b>5. Заключение</b>	<b>26</b>
<b>Список Литературы</b>	<b>29</b>

## 1. ВВЕДЕНИЕ

Изучение процессов рождения адронов содержащих тяжелые кварки является одной из существенных задач КХД. Помимо самостоятельного интереса оно имеет и прикладное значение. Например, ожидается что легкий бозон Хиггса Стандартной Модели будет распадаться преимущественно на тяжелые пары кварк-антикварк. Таким образом, прямое рождение кварк-антикварковых пар представляет основной фоновый процесс.

Конечная масса кварка, являясь регулятором инфракрасных расходимостей, позволяет использовать пертурбативную КХД для вычисления сечения инклузивного рождения тяжелого кварка в  $e^+e^-$  и  $p\bar{p}$  соударениях. Однако, при вычислении импульсного распределения образующихся из них тяжелых адронов, возникают члены, усиленные логарифмами  $\ln s/m_Q^2$ , требующие учета в рамках теории возмущений. Согласно теореме о факторизации, сечение образования тяжелого адрона с точностью до поправок порядка  $m_Q^2/s$  можно представить как свертку не зависящего от конечного адрона жесткого сечения рождения начального партона с так называемой функцией фрагментации, которая описывает переход этого партона в конкретный тип адрона.

Функцию фрагментации часто записывают как свертку пертурбативной и непертурбативной составляющих. Пертурбативная часть отвечает излучению тяжелым кварком глюонов. Ее эволюция с масштаба массы кварка до масштаба энергии взаимодействия описывается уравнениями Докшицера-Грибова-Липатова-Альтарелли-Паризи (ДГЛАП) [1–3]. Непертурбативная часть, отвечающая переходу тяжелого кварка в адрон, содер-

жит дополнительную информацию об эволюции с масштаба  $\Lambda_{QCD}$  до массы кварка. Однако такой подход заведомо не позволяет полностью разделить масштабы энергий. В пертурбативной составляющей функции фрагментации присутствуют пропорциональные  $\ln^n(m_q(1-x))$  члены, обусловленные излучением мягких глюонов. При приближении  $x$  к 1 величина  $m_q(1-x)$  становится порядка  $\Lambda_{QCD}$  и параметр разложения перестает быть малым. Казалось бы, выход может состоять в суммировании этих членов во всех порядках теории возмущений, что и проделано в ряде работ [4, 5]. При этом в области  $x \rightarrow 1$  дополнительно производится эволюция с масштаба  $m_q(1-x)$  до  $m_q$ . Но это не может рассматриваться как гарантированно правильный путь, поскольку мягкие глюоны участвуя в процессе на масштабе  $\Lambda_{QCD}$  переходят в состав конечного адрона, и, таким образом, могут уже быть учтены в непертурбативной функции фрагментации.

В данной работе производится попытка описания процесса адронизации очарованного кварка в рамках теории фрагментации со следующими предположениями. Во-первых, непертурбативная функция фрагментации зависит только от начального тяжелого кварка и конечного адрона, и не зависит от процесса в котором этот тяжелый кварк был рожден и от его энергии. Во-вторых, пертурбативная функция фрагментации рассматривается во втором (NLO) порядке пертурбативной КХД без суммирования мягких глюонов. При этом описание непертурбативного перехода кварка в адрон предполагает, как и модель Карцевишили-Лиходеда-Петрова (КЛП) [6, 7], что асимптотика непертурбативной фрагментационной функции при  $x \rightarrow 1$  зависит от типа конечного адрона и включает мягкие глюоны, формально учитываемые «соотношением взаимности» Грибова-Липатова [2].

Имеющиеся данные коллабораций BaBar, Belle и CLEO [8–10] по рождению  $D$ -мезонов и  $\Lambda_C$ -барионов в  $e^+e^-$ -аннигиляции при энергии, соответствующей резонансу  $\Upsilon(4S)$ , а также ALEPH и OPAL [11, 12] при энергии, соответствующей  $Z$ -бозону, позволяют судить как о эволюции фрагментационной функции от 10.6 ГэВ до 91.2 ГэВ, так и о состоятельности непертурбативных моделей. Также имеются данные коллабораций TASSO и TPC (SLAC) [13, 14] с существенно меньшей статистикой и энергией в интервале от 28 до 46 ГэВ. Эти данные не будут использоваться для определения формы фрагментационной функции, но послужат для дополнительной проверки результата.

В следующем разделе будет получен спектр  $c$ -кварков в  $e^+e^-$ -аннигиляции и обсужден вопрос учета мягких глюонов в рамках пертурбативного подхода. В разделе 3 рассматривается непертурбативная функция фрагментации. Сравнение с экспериментальными данными проводится в разделе 4. Выводы будут приведены в разделе 5.

## 2. ПЕРТУРБАТИВНАЯ ФУНКЦИЯ ФРАГМЕНТАЦИИ

Рассмотрим рождение пары  $c\bar{c}$  в  $e^+e^-$ -аннигиляции:

$$e^+e^- \rightarrow Z/\gamma^*(Q) \rightarrow c(p_c)\bar{c}(p_{\bar{c}}). \quad (1)$$

В соответствии с теоремой о факторизации распределение по энергии тяжелого кварка (в нашем случае —  $c$ -кварка), представимо в виде свертки коэффициентной функции, описывающей рождение безмассового партона  $i$ , и пертурбативной функции фрагментации партона  $i$  в интересующий

кварк:

$$\frac{d\sigma_c}{dx}(x, Q, m) = \sum_i \int_x^1 \frac{dz}{z} C_i^{\overline{\text{MS}}}(z, Q, \mu) D_i^{\overline{\text{MS}}} \left( \frac{x}{z}, \mu, m \right) + \mathcal{O}((m/Q)^p), \quad (2)$$

где  $\mu$  — шкала факторизации,  $p \geq 1$ , а величина  $x$  определена как

$$x = \frac{2p_c \cdot Q}{Q^2}. \quad (3)$$

Суммирование в выражении (2) производится по всем типам начальных partонов, на которых может родиться  $c$ -кварк. Пренебрегая образованием  $c$ -кварка в процессе  $g \rightarrow c\bar{c}$ , можно оставить единственное слагаемое, соответствующее прямому рождению  $c$ -кварка.  $D_c^{\overline{\text{MS}}}$  при этом является фрагментационной функцией безмассового  $c$ -кварка в массивный, находящийся на массовой поверхности.

Пертурбативная фрагментационная функция подчиняется уравнениям эволюции ДГЛАП:

$$\frac{dD_i}{d \ln \mu^2}(x, \mu^2, m^2) = \sum_j \int_x^1 \frac{dz}{z} P_{ji} \left( \frac{x}{z}, \bar{\alpha}_s(\mu^2) \right) D_j(z, \mu^2, m^2), \quad (4)$$

где функции расщепления представимы в виде ряда по  $\bar{\alpha}_s = \alpha_s/2\pi$ :

$$P_{ji}(x, \alpha_s(\mu^2)) = \bar{\alpha}_s(\mu^2) P_{ji}^{(0)}(x) + \bar{\alpha}_s^2(\mu^2) P_{ji}^{(1)}(x) + \mathcal{O}(\bar{\alpha}_s^3). \quad (5)$$

При этом для  $\alpha_s(\mu)$  используется стандартное двупетлевое выражение. В нулевом порядке ядро  $P_{qq}$  имеет вид<sup>1</sup>

$$P_{qq}^{(0)}(z) = C_F \left[ \frac{1+z^2}{(1-z)_+} + \frac{3}{2} \delta(1-z) \right], \quad (6)$$

---

<sup>1</sup> +-распределение определено как

$$\int_0^1 dz h(z) [g(z)]_+ \equiv \int_0^1 dz [h(z) - h(1)] g(z).$$

где  $C_F = 4/3$ . Выражение для  $P_{qq}^{(1)}$  найдено в [15] и слишком громоздко, чтобы повторять его здесь.

Начальное условие в NLO-приближении было впервые получено в [16] и записывается как:

$$\begin{aligned} D_q^{ini}(x, \mu_0^2, m^2) &= \delta(1-x) + \bar{\alpha}_s(\mu_0^2) d_q^{(1)}(x, \mu_0^2, m^2) + \mathcal{O}(\bar{\alpha}_s^2), \\ d_q^{(1)}(x, \mu_0^2, m^2) &= C_F \left[ \frac{1+x^2}{1-x} \left( \ln \frac{\mu_0^2}{m^2} - 2 \ln(1-x) - 1 \right) \right]_+. \end{aligned} \quad (7)$$

Для вычисления фрагментационной функции необходимо взять начальное условие на масштабе  $\mu_0 \simeq m_c$  и произвести его эволюцию до  $\mu \simeq Q$ . Такой выбор  $\mu_0$  и  $\mu$  позволяет корректно просуммировать лидирующие  $\alpha_S^n \ln^n(\mu^2/\mu_0^2)$  и следующие за лидирующими  $\alpha_S^n \ln^{n-1}(\mu^2/\mu_0^2)$  коллинеарные логарифмы.

Переход к пространству моментов Меллина позволяет заменить интегрирование в правой части уравнения (4) на умножение:

$$\frac{dD_i(N, \mu^2, m^2)}{d \ln \mu^2} = \sum_j \bar{\alpha}_s(\mu^2) \left[ P_{ji}^{(0)}(N) + \bar{\alpha}_s(\mu^2) P_{ji}^{(1)}(N) \right] D_j(N, \mu^2, m^2). \quad (8)$$

Аналитическое решение уравнения эволюции (8) в NLO-приближении получено в [16] и записывается как:

$$\begin{aligned} D_q(N, \mu^2, m^2) &= D_q^{ini}(N, \mu_0^2, m^2) \exp \left\{ \ln \frac{\alpha_s(\mu_0^2)}{\alpha_s(\mu^2)} \frac{P_{qq}^{(0)}(N)}{2\pi b_0} \right. \\ &\quad \left. + \frac{\alpha_s(\mu_0^2) - \alpha_s(\mu^2)}{4\pi^2 b_0} \left[ P_{qq}^{(1)}(N) - \frac{2\pi b_1}{b_0} P_{qq}^{(0)}(N) \right] \right\}. \end{aligned} \quad (9)$$

Коэффициентные функции в том же порядке теории возмущений так же можно найти в [16], причем нас интересует только  $C_q$ :

$$C_q(z, Q^2, m^2) = \left[ \delta(1-z) + \bar{\alpha}_s a_q^{(1)}(z, Q^2, m^2) \right] \sigma_{0,q}(Q^2), \quad (10)$$

где

$$a_q^{(1)}(z, Q^2, m^2) = C_F \left[ 1 + \ln \frac{Q^2}{m^2} \left( \frac{1+x^2}{(1-x)_+} + \frac{3}{2} \delta(1-x) \right) + \frac{1}{2} \frac{x^2 - 6x - 2}{(1-x)_+} - \left( \frac{\ln(1-x)}{1-x} \right)_+ (1+x)^2 + 2 \frac{1+x^2}{1-x} \ln x + \left( \frac{2}{3} \pi^2 - \frac{5}{2} \right) \delta(1-x) \right]. \quad (11)$$

Таким образом для спектра очарованных夸克ов (2) в NLO-приближении имеем:

$$\sigma_c(N, q^2, m^2) = C_q(N, q^2, \mu^2) D_q(N, \mu^2, m^2). \quad (12)$$

где

$$\sigma_c(N, q^2, m^2) \equiv \int_0^1 dx x^{N-1} \frac{d\sigma_c}{dx}(x, q^2, m^2). \quad (13)$$

Стоит отметить, что наличие  $\delta$ -функции в начальном условии (7) приводит к тому, что в результате эволюции, фрагментационная функция и, следовательно, спектр  $c$ -кварков принимают при  $x \rightarrow 1$  отрицательные значения, не имеющие физического смысла. Поскольку это происходит в крайне малой области, то в дальнейшем эта область просто исключается из рассмотрения.

В то время как в области малых и средних  $x$  основную роль в эволюцию функции фрагментации вносит излучение коллинеарных глюонов, в области  $x \rightarrow 1$  существенным становится излучение мягких глюонов. Ему соответствуют члены вида  $\alpha_s/(1-x)_+$  и  $\alpha_s [\ln(1-x)/(1-x)]_+$  в начальном условии и в коэффициентной функции. В пространстве Меллина образы

вкладов этих членов ведут себя как  $\ln^2 N$ :

$$\begin{aligned} a_q^{(1)}(N, q^2, \mu^2) &= C_F \left[ \ln^2 N + \left( \frac{3}{2} + 2\gamma_E - 2 \ln \frac{q^2}{\mu^2} \right) \ln N + \right. \\ &\quad \left. + \alpha_q + \mathcal{O}(1/N) \right], \\ d_q^{(1)}(N, \mu_0^2, m^2) &= C_F \left[ -2 \ln^2 N + 2 \left( 1 - 2\gamma_E + \ln \frac{m^2}{\mu_0^2} \right) \ln N + \right. \\ &\quad \left. + \delta_q + \mathcal{O}(1/N) \right]. \end{aligned} \quad (14)$$

Суммирование ведущих  $\alpha_s^n \ln^{n+1} N$  и следующих за ведущими  $\alpha_s^n \ln^n N$  вкладов во всех порядках по константе сильного взаимодействия выполнено в работе [4]. При этом в областях  $x \approx 0$  и  $x \approx 1$  функция фрагментации принимает отрицательные значения вызванные членами пропорциональными  $\alpha_s \ln x$ ,  $\alpha_s/(1-x)_+$  и  $\alpha_s [\ln(1-x)/(1-x)]_+$ . В этом случае, при приближении к единице область отрицательных значений начинается заметно раньше (при  $x \gtrsim (1 - \Lambda_{\text{QCD}}/m_c)$ ), чем для выражения (9) в фиксированном порядке теории возмущений. Такое поведение обусловливаются сингулярностью  $\alpha_s(\mu^2)$  в полюсе Ландау  $\mu \simeq \Lambda_{\text{QCD}}$ .

Пороговым значением  $N$  для коэффициентной функции является

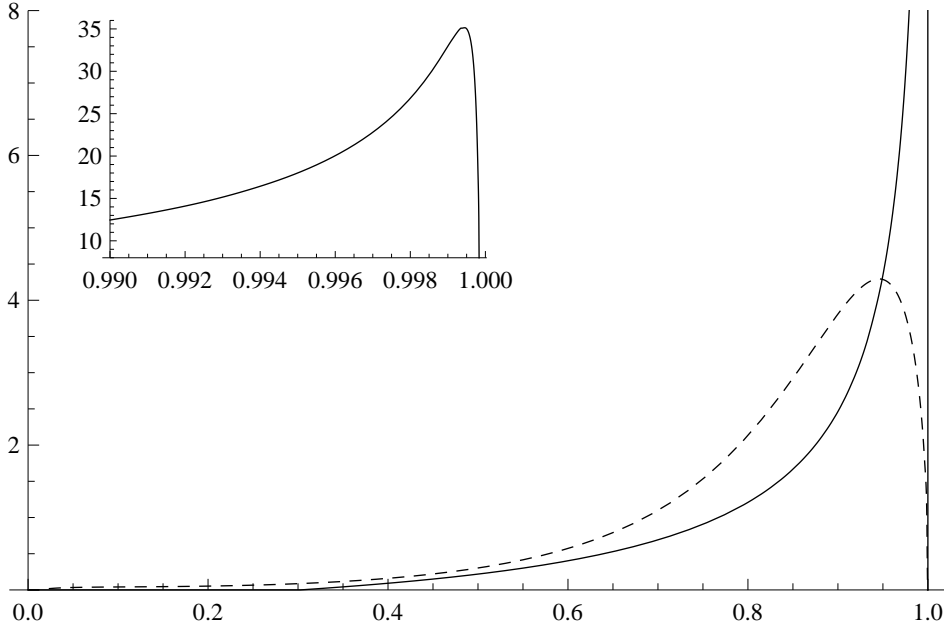
$$N_q^L = \exp \left( \frac{1}{b_0 \alpha_s(\mu^2)} \right) \simeq \frac{\mu^2}{\Lambda_{\text{QCD}}^2}, \quad (15)$$

а для начального условия

$$N_{\text{ini}}^L = \exp \left( \frac{1}{2 b_0 \alpha_s(\mu_0^2)} \right) \simeq \frac{\mu_0}{\Lambda_{\text{QCD}}}. \quad (16)$$

Чтобы восстановить физичное поведение фрагментационной функции, вводятся степенные поправки, выражающиеся в замене

$$N \rightarrow N \frac{1 + f/N_q^L}{1 + f N/N_q^L}, \quad (17)$$



**Рис. 1.** Пертурбативная составляющая фрагментационной функции при  $\mu = 10.58$  ГэВ. Сплошная линия - результат во втором порядке теории возмущений, пунктирная — с просуммированными во всех порядках мягкими глюонами.

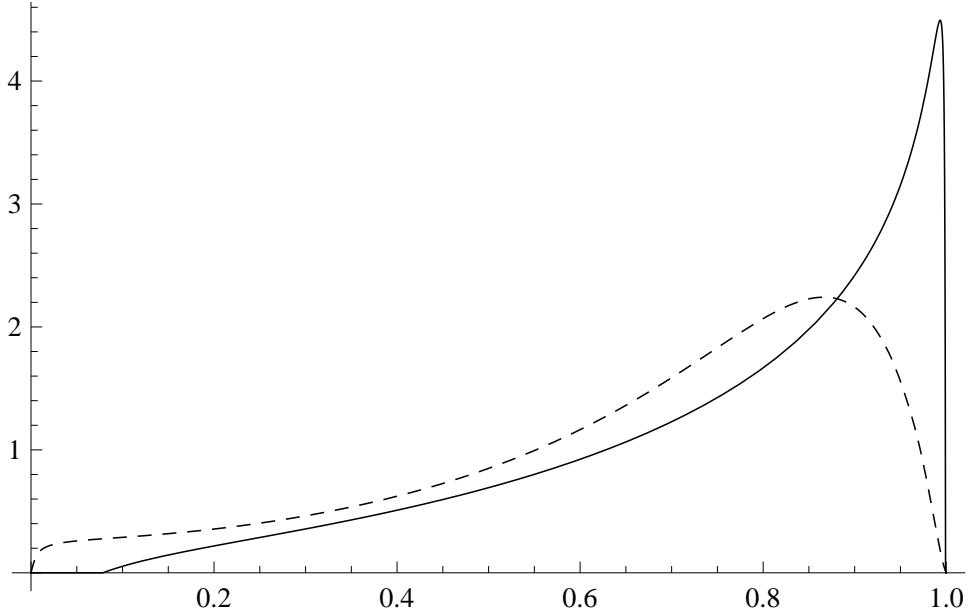
в коэффициентной функции, и

$$N \rightarrow N \frac{1 + f/N_{\text{ini}}^L}{1 + f N/N_{\text{ini}}^L}. \quad (18)$$

в начальном условии. При  $f \geq 1$  нефизичная область не достигается.

Следует не упускать из внимания, что несмотря на разумное поведение получаемых функций, нет какой-либо строгой мотивации проведения замен (17) и (18). Таким образом, область  $x \rightarrow 1$  не описывается последовательным образом в рамках пертурбативной КХД.

Графики пертурбативных функций фрагментации, соответствующих энергиям Belle и ALEPH, представлены на рис. 1 и 2 соответственно. При этом предполагалось  $m_c = 1.6$  ГэВ,  $\Lambda_{\text{QCD}} = 0.2$  ГэВ, а параметр  $f = 1$ .



**Рис. 2.** Пертурбативная составляющая фрагментационной функции при  $\mu = 91.18$  ГэВ. Сплошная линия — результат во втором порядке теории возмущений, пунктируная — с просуммированными во всех порядках мягкими глюонами.

### 3. НЕПЕРТУРБАТИВНАЯ ФУНКЦИЯ ФРАГМЕНТАЦИИ

Непертурбативная функция фрагментации КЛП [6] получена в предположении выполнения «соотношения взаимности»[2]. Суть его заключается в том, что, по крайней мере в области  $z \sim 1$ , непертурбативная функция фрагментации  $D_q^{H(n.p.)}(z)$ <sup>2</sup> совпадает с соответствующей функцией распределения тяжелых夸克ов в соответствующем адроне:

$$D_q^H(z) = f_H^q(z), \quad (19)$$

где  $z = p_H/p_c$  — отношение импульса конечного адрона к импульсу адронизующегося кварка.

---

<sup>2</sup> В дальнейшем обозначение “(н.п.)” будет опускаться, поскольку всякая непертурбативная функция фрагментации, в отличие от пертурбативной, снабжается обозначением соответствующего адрона, что позволит избежать путаницы.

Для  $D$ -мезонов функция распределения была определена в работе [17] на основе модели Кути-Вайскопфа [18]:

$$f_D^c(z) = \text{const} \cdot z^{-\alpha_c} (1-z)^{\gamma_M - \alpha_q}. \quad (20)$$

Здесь  $\alpha_c$  — пересечения ведущей реждевской траектории, связанной с очарованным夸克ом, а  $\alpha_q = 1/2$  — пересечение траектории  $\rho, \omega, f, A_2$ . Предположение об универсальности моря кварк-антикварковых пар во всех мезонах приводит к значению параметра  $\gamma_M = 3/2$ . Существует некоторая неопределенность в величине  $\alpha_c$ . Теоретические исследования [19], основанные на систематике Редже-траекторий, указывают на значение  $\alpha_c$  в интервале от  $-2.0$  до  $-3.5$ . Это несколько больше, чем величина  $\alpha_c \approx -3 \div -4$ , полученная в работе [20] с помощью КХД правил сумм. Другой способ определения  $\alpha_c$  [21], по значению волновой функции векторного кваркония  $Q\bar{Q}$  в начале координат, приводит к значению  $-3.5 \pm 0.6$ . В этой работе используем значение  $-3.5$ .

Аналогично, для  $\Lambda_C$ -барионов можно получить

$$f_{\Lambda_C}^c(z) = \text{const} \cdot z^{-\alpha_c} (1-z)^{1+\gamma_B - 2\alpha_q}, \quad (21)$$

где  $\gamma_B = 3$ .

Таким образом, функции фрагментации КЛП записываются как

$$\begin{aligned} D_c^D(z) &= \text{const} \cdot z^{-\alpha_c} (1-z), \\ D_c^{\Lambda_C}(z) &= \text{const} \cdot z^{-\alpha_c} (1-z)^3, \end{aligned} \quad (22)$$

где константы обеспечивают нормировку интеграла на 1.

Зачастую, при фитировании экспериментальных данных величина  $\alpha_c$  рассматривается как свободный параметр. При этом, для мезонов при энергии, соответствующей резонансу  $\Upsilon(4S)$ , получают значение  $\alpha_c \approx -5.6$  [9],

а для  $\Lambda_C$ -барионов  $\alpha_c \approx -7.6$  [8]. Эти значения заметно превышают теоретические предсказания. Можно предположить, что при фитировании экспериментальных данных, величина  $\alpha_c$  определяется не столько по асимптотике при  $z \rightarrow 0$ , сколько по положению максимума распределения.

Поэтому в данной работе в качестве непертурбативной функции фрагментации будет использована функция

$$D_c^H(z) = \text{const} \cdot z^{-\alpha_c - \beta} \left( z - e^{\delta(z-1)/z^2} \right)^\beta, \quad (23)$$

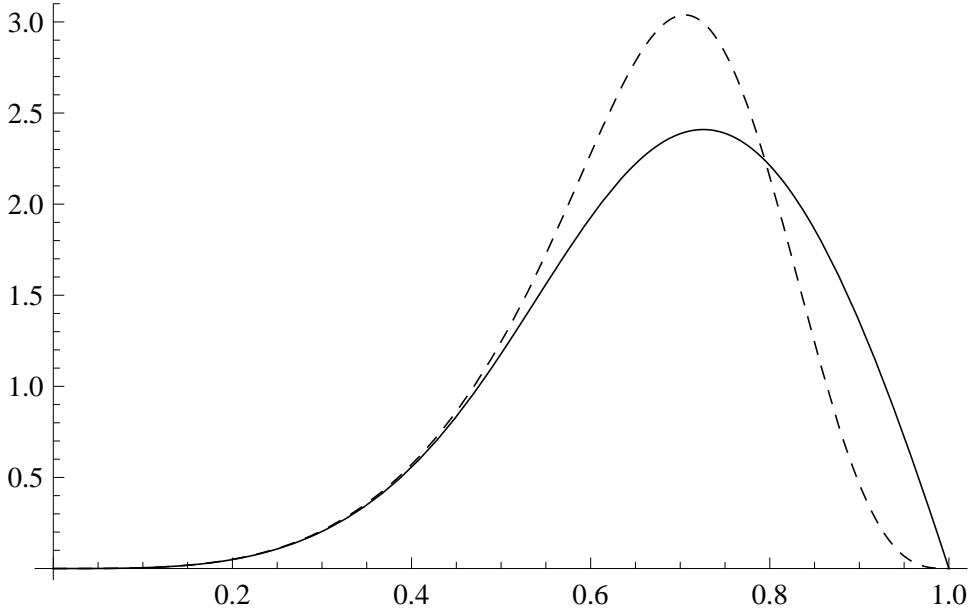
где  $\alpha_c = -3.5$  — пересечение ведущей реждевской траектории, одинаковое для мезонов и барионов,  $\beta = 1$  для очарованных мезонов и  $\beta = 3$  для барионов в соответствии с (22), а параметр  $\delta$  позволяет менять положение максимума. Нетрудно убедиться, что функция (23) для мезонов и барионов имеет при  $x \rightarrow 0$  и  $x \rightarrow 1$  асимптотики отличающиеся от асимптотик функций КЛП лишь постоянным множителем.

#### 4. РЕЗУЛЬТАТЫ

Для получения спектра  $c$ -кварков по переменной  $x$  было численно произведено обратное преобразование Меллина путем интегрирования в комплексной плоскости по вертикальному контуру:

$$\frac{d\sigma_c}{dx}(x, q^2, m^2) = \int_{\gamma-i\infty}^{\gamma+i\infty} \frac{dN}{2\pi i} x^{-N} \sigma_c(N, q^2, m^2), \quad (24)$$

где величина  $\sigma_c(N, q^2, m^2)$  определена в формуле (12). Поскольку в фиксированном порядке теории возмущений полюс Ландау не возникает, то достаточно отступить от 0 на любое положительное  $\gamma$ . Проведенные при разных  $\gamma$  преобразования, приводя к одинаковым распределениям по  $x$ , доказывают независимость результата от параметра  $\gamma$ .



**Рис. 3.** Непертурбативная функция фрагментации (23). Сплошная линия - для  $D^*$ -мезонов, пунктирная — для  $\Lambda_C$ -барионов.

Форма непертурбативной функции фрагментации выбиралась на основе данных коллаборации Belle по прямому рождению  $D^*$ -мезонов и  $\Lambda_C$ -барионов при энергии 10.58 ГэВ, имеющих наилучшую точность и наибольшую статистику. Считая величину  $\alpha_c$  заданной и равной 3.5, варьировался параметр  $\delta$ . Лучше всего экспериментальные данные описываются при значении  $\delta = 2.1$  для  $D^*$ -мезонов и  $\delta = 4.5$  для  $\Lambda_C$ -барионов. Заметим, что выбранные численные значения обеспечивают совпадение фрагментационных функций для мезонов и барионов при  $x \rightarrow 0$  (см. рис. 3), наблюдающееся на эксперименте. При этом левая часть спектра наилучшим образом описывается именно при значении  $\alpha_c = 3.5$ . Проверено, что значения  $\alpha_c = 3.0$  и  $\alpha_c = 4.0$  не позволяют добиться удовлетворительного описания данных варьированием параметра  $\delta$ .

#### 4.1. Рождение $D^*$ -мезонов и $\Lambda_C$ -барионов в $e^+e^- \rightarrow c\bar{c}$

Для получения импульсного распределения адронов от прямого рождения пар  $c\bar{c}$  достаточно свернуть спектр  $c$ -кварков (24) с функцией (23):

$$\frac{d\sigma_H}{dx}(x) = \int_x^1 \frac{dz}{z} \left( \frac{d\sigma_c}{dz}(z) \right) D_c^H \left( \frac{x}{z} \right). \quad (25)$$

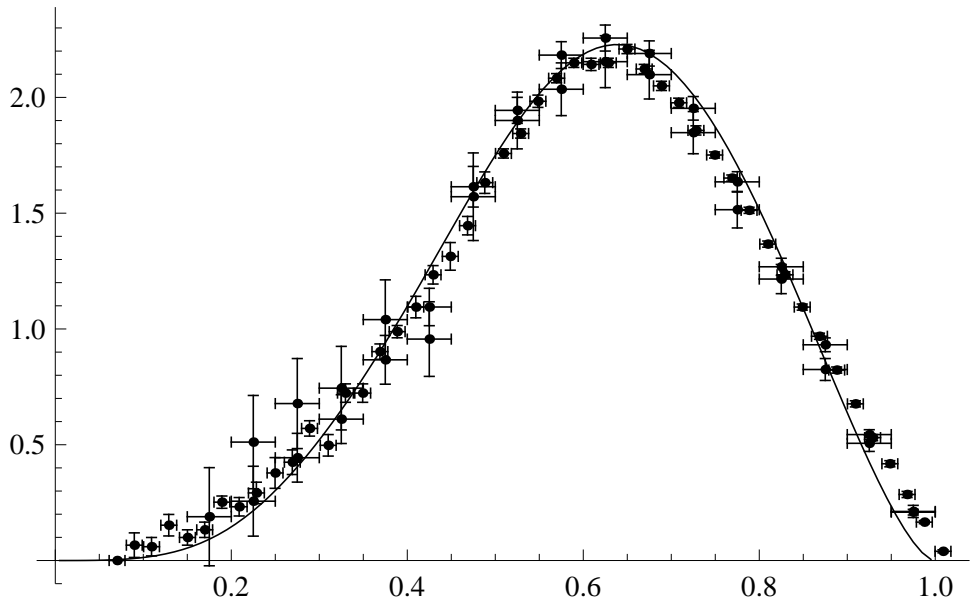
При этом в случае рождения  $D^*$ -мезонов в экспериментах Belle и CLEO эволюция в пертурбативной составляющей фрагментационной функции производится до масштаба  $\sqrt{s} = 10.58$  ГэВ и берется мезонная непертурбативная функция фрагментации:

$$D_c^{D^*}(z) = \text{const} \cdot z^{2.5} \left( z - e^{2.1(z-1)/z^2} \right). \quad (26)$$

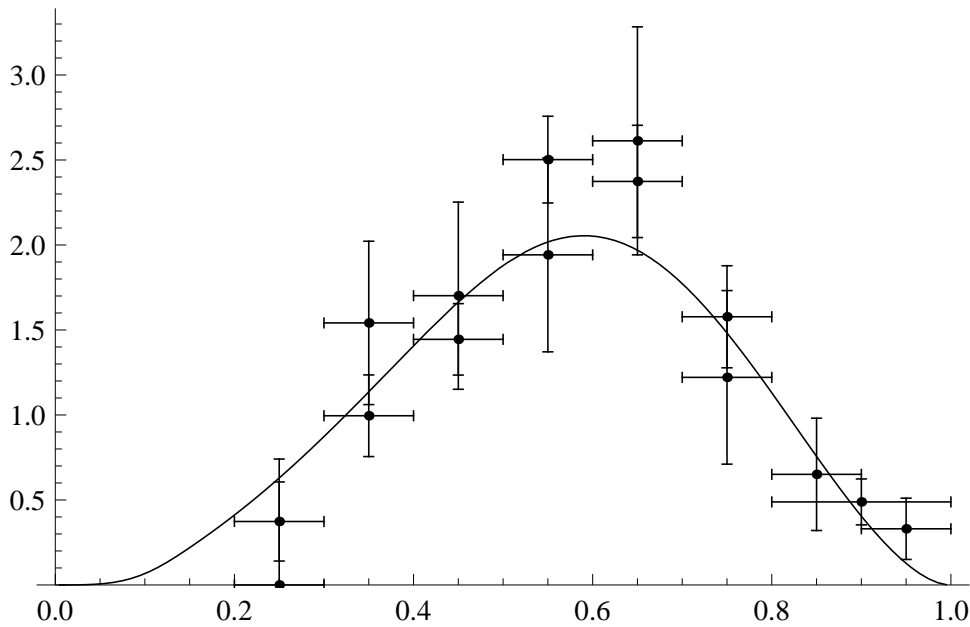
Для сравнения с экспериментальными данными здесь и далее все распределения нормированы на 1. Как можно видеть из рис. 4, результат хорошо согласуется с экспериментом.

Данные коллабораций TASSO и TPC по фрагментации  $D^*$ -мезонов были получены не при фиксированной энергии пучка. Предоставляемая ими статистика объединяет события при энергиях от 29 до 46 ГэВ. Для расчета спектра в этом случае была взята полусумма непертурбативных фрагментационных функций при энергиях 29 и 46 ГэВ. Важно отметить, что все остальные параметры, участвующие в расчете, оставлены теми же. При этом так же наблюдается разумное согласие с экспериментом (рис. 5).

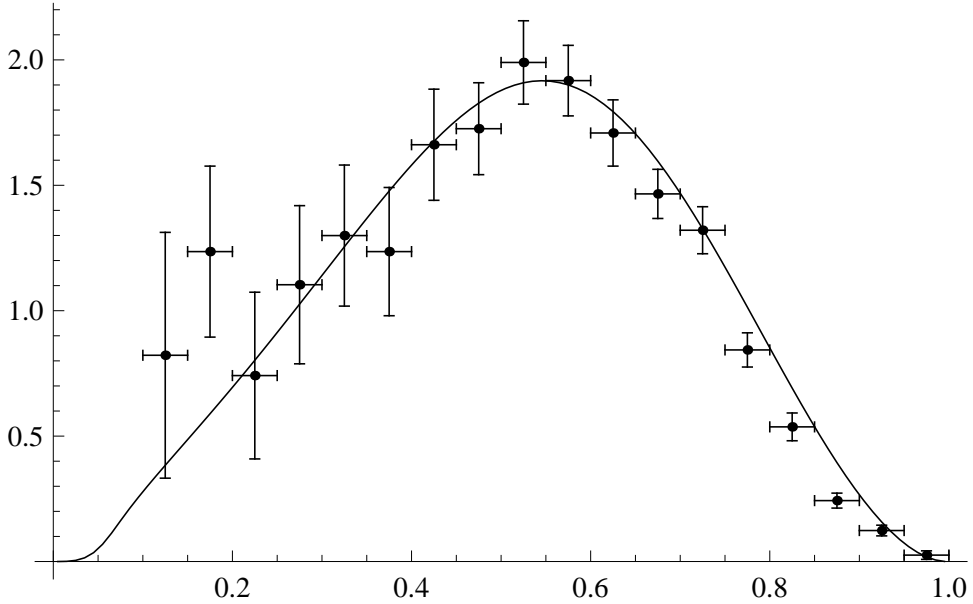
В случае образования  $D^*$ -мезонов при энергии  $\sqrt{s} = 91.18$  ГэВ в расчетах меняется только конечный масштаб эволюции пертурбативной функции фрагментации. Непертурбативная составляющая полностью совпадает



**Рис. 4.** Спектр  $D^*$ -мезонов в  $e^+e^-$ -аннигиляции от фрагментации с-кварка при  $\sqrt{s} = 10.58$  ГэВ, рассчитанный по формуле (25), в сравнении с экспериментальными данными коллабораций Belle и CLEO.



**Рис. 5.** Спектр  $D^*$ -мезонов в  $e^+e^-$ -аннигиляции от фрагментации с-кварка при  $\sqrt{s} \sim 35$  ГэВ, рассчитанный по формуле (25), в сравнении с экспериментальными данными коллабораций TASSO и TPC.



**Рис. 6.** Спектр  $D^*$ -мезонов в  $e^+e^-$ -аннигиляции от фрагментации с-кварка при  $\sqrt{s} = 91.18$  ГэВ, рассчитанный по формуле (25), в сравнении с экспериментальными данными коллаборации ALEPH.

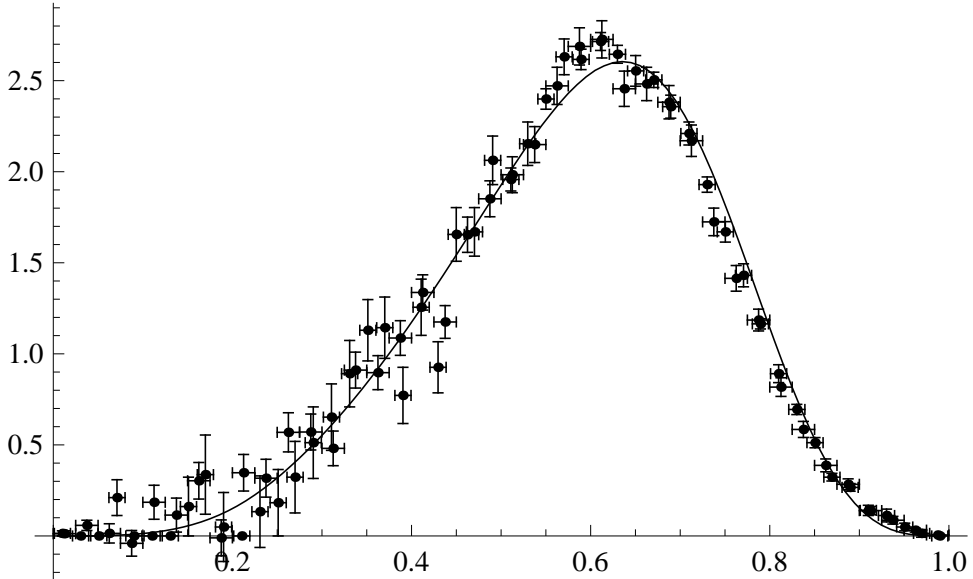
с использованной ранее. Результат хорошо согласуется с экспериментальными данными (рис. 6).

Для вычисления спектра  $\Lambda_C$ -барионов при  $\sqrt{s} = 10.58$  ГэВ берется та же пертурбативная функция фрагментации, что и для  $D^*$ -мезонов при этой энергии. В качестве непертурбативной составляющей используется барионная фрагментационная функция из предыдущей главы:

$$D_c^{\Lambda_C}(z) = \text{const} \cdot z^{0.5} \left( z - e^{4.5(z-1)/z^2} \right)^3. \quad (27)$$

В сравнении с данными коллабораций BaBar и Belle спектр  $\Lambda_C$ -барионов приведен на рис. 7.

Как несложно видеть, различное для мезонов и барионов поведение непертурбативной функции хорошо согласуется с экспериментом, причем корректное описание области  $x \rightarrow 1$  свидетельствует о правильном выборе асимптотик при  $x \rightarrow 1$  функций (26,27). Также можно говорить об

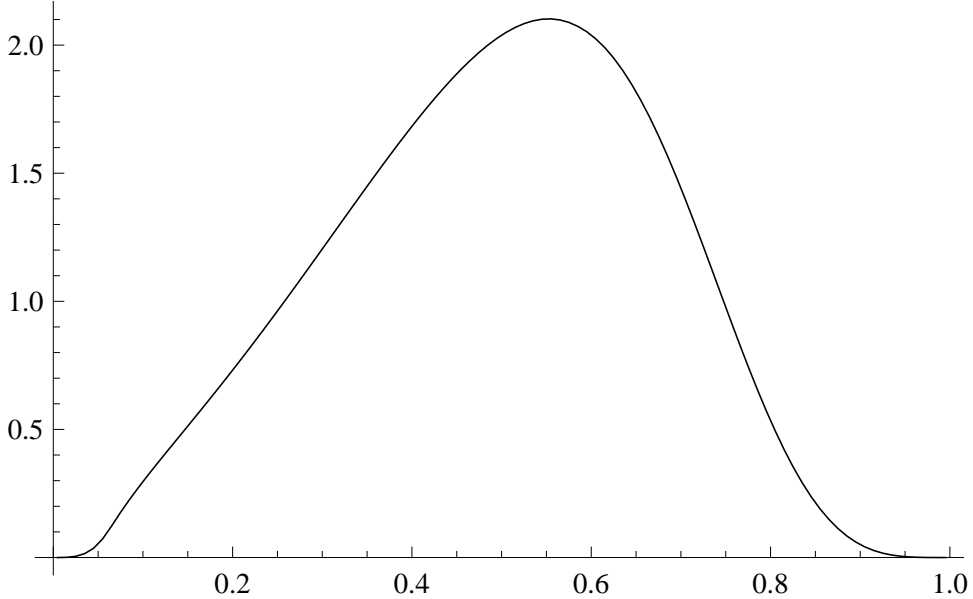


**Рис. 7.** Спектр  $\Lambda_C$ -барионов в  $e^+e^-$ -аннигиляции от фрагментации с-кварка при  $\sqrt{s} = 10.58$  ГэВ, рассчитанный по формуле (25), в сравнении с экспериментальными данными коллабораций BaBar и Belle.

отсутствии нарушения факторизации при эволюции от энергии 10.58 ГэВ до энергии 91.18 ГэВ, т.к. для согласия с экспериментом не потребовалось менять других параметров, кроме конечного масштаба эволюции. К сожалению, отсутствующие экспериментальные данные по образованию  $\Lambda_C$ -барионов в процессе прямого рождения пар  $c\bar{c}$  в пике  $Z$ -бозона не позволяют провести дополнительную проверку этих утверждений. На рис. 8 представлен предсказываемый спектр.

#### 4.2. Рождение $D$ -мезонов в $e^+e^- \rightarrow c\bar{c}$

$D$ -мезоны в рассматриваемом процессе образуются как напрямую от фрагментации  $c$ -кварков, так и в распадах  $D^*$ , которые рождаются при  $e^+e^-$ -аннигиляции чаще, чем  $D$ . Простая оценка по числу спиновых состояний  $2J + 1$  дает втрое большую вероятность рождения  $D^*$  по сравнению



**Рис. 8.** Спектр  $\Lambda_C$ -барионов в  $e^+e^-$ -аннигиляции от фрагментации с-кварка при  $\sqrt{s} = 91.18$  ГэВ, рассчитанный по формуле (25).

с  $D$ . Однако на эксперименте обнаружено, что сечение рождения  $D^*$  лишь в 1.4 раз больше [11]. В расчетах будем использовать экспериментальное значение и предполагать, что вероятности рождения  $D^{*+}$ ,  $D^{*-}$  и  $D^{*0}$  равны.

С учетом сказанного, будем строить функции фрагментации  $D^{+3}$  и  $D^0$ -мезонов как линейные комбинации вкладов от прямого рождения и возможных распадов. Как известно,  $D^{*\pm}$  и  $D^{*0}$  с неотличимой от 1 вероятностью распадаются на  $D\pi$  или  $D\gamma$ . Рассмотрим эти распады.

Распад  $D^* \rightarrow D\pi$  происходит непосредственно под порогом. Поэтому импульсом  $D$ -мезона в системе покоя  $D^*$

$$p' = \sqrt{\left(\frac{m_{D^*}^2 + m_D^2 - m_\pi^2}{2m_{D^*}}\right)^2 - m_D^2} = 16 \text{ МэВ} \quad (28)$$

можно пренебречь. В этом случае скорость  $D$  совпадает со скоростью распадающегося  $D^*$ , и их импульсы пропорциональны массам. Соответствен-

---

<sup>3</sup> В дальнейшем, говоря о  $D^+$ , будем подразумевать, что тоже самое выполняется и для  $D^-$ .

но, вклад распада  $D^* \rightarrow D\pi$  в рождение  $D$ -мезонов можно записать как

$$\tilde{D}^{D\pi}(z) = D_c^{D^*} \left( z \frac{m_{D^*}}{m_D} \right) \theta \left( 1 - z \frac{m_{D^*}}{m_D} \right) \frac{m_{D^*}}{m_D}, \quad (29)$$

где  $D_c^{D^*}(z)$  — непертурбативная функция фрагментации  $D^*$ -мезонов (26).

Интеграл от функции (29) нормирован на 1, так что она должна входить в непертурбативную функцию фрагментации  $D$ -мезонов с весом, пропорциональным вероятности распада  $D^* \rightarrow D\pi$ , а также вероятности рождения  $D^*$ .

Рассмотрим теперь распад  $D^* \rightarrow D\gamma$ . В этом случае  $D$ -мезон в системе покоя  $D^*$ -мезона имеет заметный импульс

$$p' = \frac{m_{D^*}^2 - m_D^2}{2m_{D^*}} = 135 \text{ МэВ}. \quad (30)$$

В лабораторной системе его импульс определяется преобразованием Лоренца:

$$p = \gamma(p' \cos \theta + \beta \epsilon'), \quad (31)$$

где  $\beta$  — скорость  $D^*$ -мезона,  $\gamma = 1/\sqrt{1-\beta^2}$ ,  $\theta$  — угол вылета  $D$ -мезона по отношению к направлению импульса  $D^*$ , а  $\epsilon' = (m_{D^*}^2 + m_D^2)/(2m_{D^*})$  — его энергия в системе покоя  $D^*$ -мезона. Обозначив импульс и энергию  $D^*$ -мезона в лабораторной системе  $p^*$  и  $\epsilon^*$  соответственно, моментально получаем

$$\gamma = \frac{\epsilon^*}{m_{D^*}}, \quad \beta = \frac{p^*}{\gamma m_{D^*}}. \quad (32)$$

Введя переменные

$$\begin{aligned} z &= \frac{p}{p_{max}^D} \equiv \frac{p}{\sqrt{s/4 - m_D^2}} \\ z^* &= \frac{p^*}{p_{max}^{D^*}} \equiv \frac{p^*}{\sqrt{s/4 - m_{D^*}^2}} \end{aligned} \quad (33)$$

можно записать вклад распада  $D^* \rightarrow D\gamma$  в образование  $D$ -мезонов как

$$\tilde{D}^{D\gamma}(z) = \int_0^1 dz^* \int_{-1}^1 \frac{d\cos\theta}{2} D_c^{D^*}(z^*) \delta\left(z - \gamma \frac{p' \cos\theta + \beta\epsilon'}{p_{max}}\right). \quad (34)$$

Как и в предыдущем случае, интеграл от функции (34) нормирован на 1.

Для прямого рождения как  $D^+$ , так и  $D^0$ -мезонов используем ту же непертурбативную фрагментационную функцию (26), что и для  $D^*$ :

$$D_c^D(z) = D_c^{D^*}(z). \quad (35)$$

Относительные вероятности рассмотренных распадов для заряженных и нейтральных мезонов равны [22]

$$\begin{aligned} Br_{D^{*+} \rightarrow D^0\pi^+} &= 67.7 \pm 0.5, \% \\ Br_{D^{*+} \rightarrow D^+\pi^0} &= 30.7 \pm 0.5, \% \\ Br_{D^{*+} \rightarrow D^+\gamma} &= 1.6 \pm 0.4, \% \\ Br_{D^{*0} \rightarrow D^0\pi^0} &= 61.9 \pm 2.9, \% \\ Br_{D^{*0} \rightarrow D^0\gamma} &= 38.1 \pm 2.9. \% \end{aligned} \quad (36)$$

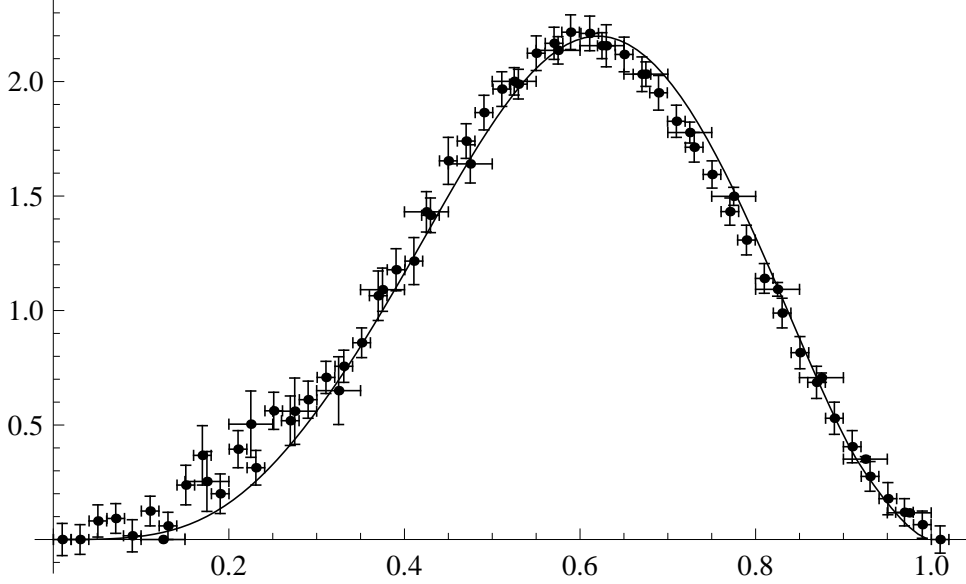
В результате функции фрагментации  $D$ -мезонов запишутся как

$$\begin{aligned} \tilde{D}_c^{D^+}(z) &= n^{D^+}(D_c^D(z)) + c \left[ Br_{D^{*+} \rightarrow D^+\gamma} \tilde{D}^{D\gamma}(z) + \right. \\ &\quad \left. + Br_{D^{*+} \rightarrow D^+\pi^0} \tilde{D}^{D\pi}(z) \right] \end{aligned} \quad (37)$$

и

$$\begin{aligned} \tilde{D}_c^{D^0}(z) &= n^{D^0}(D_c^D(z)) + c \left[ Br_{D^{*0} \rightarrow D^0\gamma} \tilde{D}^{D\gamma}(z) + \right. \\ &\quad \left. + (Br_{D^{*+} \rightarrow D^0\pi^+} + Br_{D^{*0} \rightarrow D^0\pi^0}) \tilde{D}^{D\pi}(z) \right], \end{aligned} \quad (38)$$

где  $c = 1.4$  — отношение вероятностей рождения  $D^*$  и  $D$ -мезонов, а коэффициенты  $n^{D^+}$  и  $n^{D^0}$  обеспечивают нормировку интеграла от функций



**Рис. 9.** Спектр  $D^+$ -мезонов в  $e^+e^-$ -аннигиляции от фрагментации с-кварка при  $\sqrt{s} = 10.58$  ГэВ, рассчитанный по формуле (40), в сравнении с экспериментальными данными коллабораций Belle и CLEO.

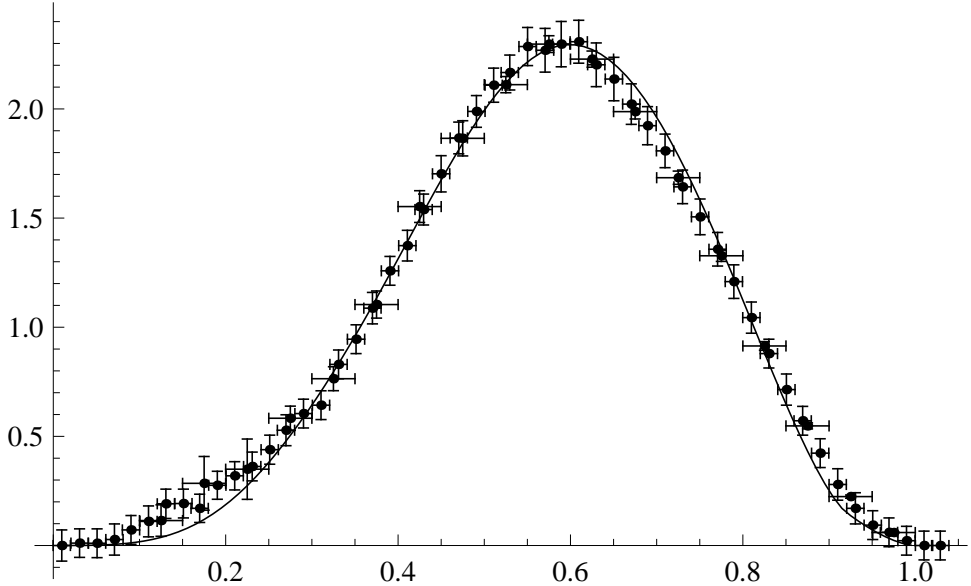
фрагментации на 1:

$$\begin{aligned} n^{D^+} &= (1 + c(Br_{D^{*+} \rightarrow D^+\gamma} + Br_{D^{*+} \rightarrow D^+\pi^0}))^{-1}, \\ n^{D^0} &= (1 + c(Br_{D^{*0} \rightarrow D^0\gamma} + Br_{D^{*+} \rightarrow D^0\pi^+} + Br_{D^{*0} \rightarrow D^0\pi^0}))^{-1}. \end{aligned} \quad (39)$$

Для спектра  $c$ -кварков используем то же выражение (24), что и ранее. При этом эволюция пертурбативной фрагментационной функции производится до масштаба 10.58 ГэВ, соответствующего энергии в экспериментах CLEO и Belle. Для получения спектров  $D^+$  и  $D^0$ -мезонов в этих экспериментах свернем спектр  $c$ -кварков с функциями (37) и (38) соответственно:

$$\frac{d\sigma_{D^{+/0}}}{dx}(x) = \int_x^1 \frac{dz}{z} \left( \frac{d\sigma_c}{dz}(z) \right) D_c^{D^{+/0}} \left( \frac{x}{z} \right). \quad (40)$$

Результат для  $D^+$ -мезонов приведен на рис. 9, а для  $D^0$  — на рис. 10. Поскольку учет распадов  $D^* \rightarrow DX$  является единственным отличием описания фрагментации  $D$  от  $D^*$ , то хорошее согласие с экспериментом ука-

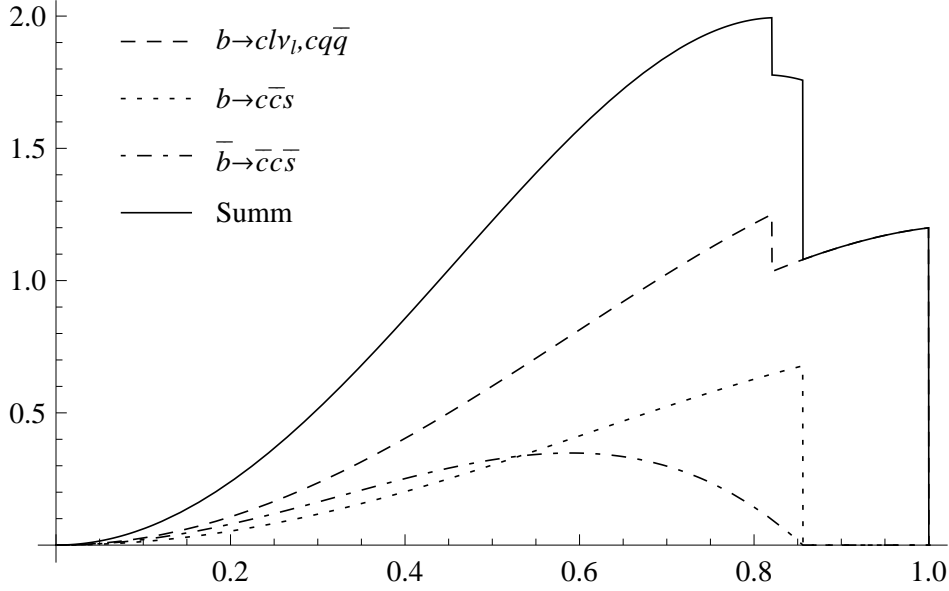


**Рис. 10.** Спектр  $D^0$ -мезонов в  $e^+e^-$ -аннигиляции от фрагментации с-кварка при  $\sqrt{s} = 10.58$  ГэВ, рассчитанный по формуле (40), в сравнении с экспериментальными данными коллабораций Belle и CLEO.

зывает на совпадение фрагментационных функций для прямого рождения  $D$  и  $D^*$ -мезонов. Наблюдаемый на эксперименте более мягкий спектр  $D^0$  по сравнению с  $D^+$  обусловлен большей вероятностью распада  $D^* \rightarrow D^0 X$ .

#### 4.3. Рождение $D^*$ -мезонов и $\Lambda_C$ -барионов в распадах $B$ -мезонов

Рассмотрим теперь образование очарованных частиц в распадах  $b$ -кварка. Энергия 10.58 ГэВ соответствует резонансу  $\Upsilon(4S)$ , распадающемуся с близкой к 1 вероятностью на пары  $B\bar{B}$ .  $B$ -мезоны от распада находятся практически в покое, т.к. их масса  $m_B = 5.28$  ГэВ  $\simeq \sqrt{s}/2$ . Пренебрегая движением  $b$ -кварка в  $B$ -мезоне, можно легко найти спектр  $c$ -кварков от распада  $B$ . Он находится как спектр  $c$ -кварков от слабых распадов  $b \rightarrow c + l\nu_l$ ,  $b \rightarrow c + q\bar{q}$ ,  $b \rightarrow c + \bar{c}s$  и  $\bar{b} \rightarrow \bar{c} + c\bar{s}$ . Результат расчетов приведен на рис. 11. Значению  $z = 1$  соответствует максимальный кинематический фактор.



**Рис. 11.** Спектры  $c$ -кварков от распадов  $b \rightarrow cl\nu_l$ ,  $b \rightarrow cq\bar{q}$ ,  $b \rightarrow c\bar{c}s$ ,  $\bar{b} \rightarrow \bar{c}\bar{c}s$

тически разрешенный в данных условиях импульс  $c$ -кварка.

Спектр очарованных адронов от распадов  $B$ -мезонов запишем как:

$$\frac{d\sigma_H}{dx}(x) = \int_x^1 \frac{dz}{z} \left( \frac{d\sigma_{b \rightarrow c}}{dz}(z) \right) D_c^{(n.p.)} \left( \frac{x}{z} \right). \quad (41)$$

где  $d\sigma_{b \rightarrow c}/dz$  — спектр  $c$ -кварков от распада  $B$ -мезона. При этом пренебрегается какой-либо пертурбативной фрагментационной функцией, поскольку при столь малой энергии она должна быть близка к  $\delta$ -функции.

Спектр  $D^*$ -мезонов получен с использованием той же мезонной непертурбативной функции фрагментации, что и ранее. В экспериментальных данных значению  $x = 1$  соответствует максимальный кинематически разрешенный импульс  $D^*$ -мезона при энергии  $\sqrt{s} = 10.58$  ГэВ:

$$p_{max}^{D^*} = \sqrt{s/4 - m_{D^*}^2} = 4.89 \text{ ГэВ}. \quad (42)$$

Максимальный импульс  $D^*$ -мезона от распада  $B$  равен максимальному

импульсу  $c$ -кварка:

$$p_{max}^c = \sqrt{\frac{(m_b^2 + m_c^2)^2}{4m_b^2} - m_c^2} = 2.24 \text{ ГэВ.} \quad (43)$$

Это значение хорошо согласуется с кинематическим пределом рассчитанным через массы адронов (а не кварков):

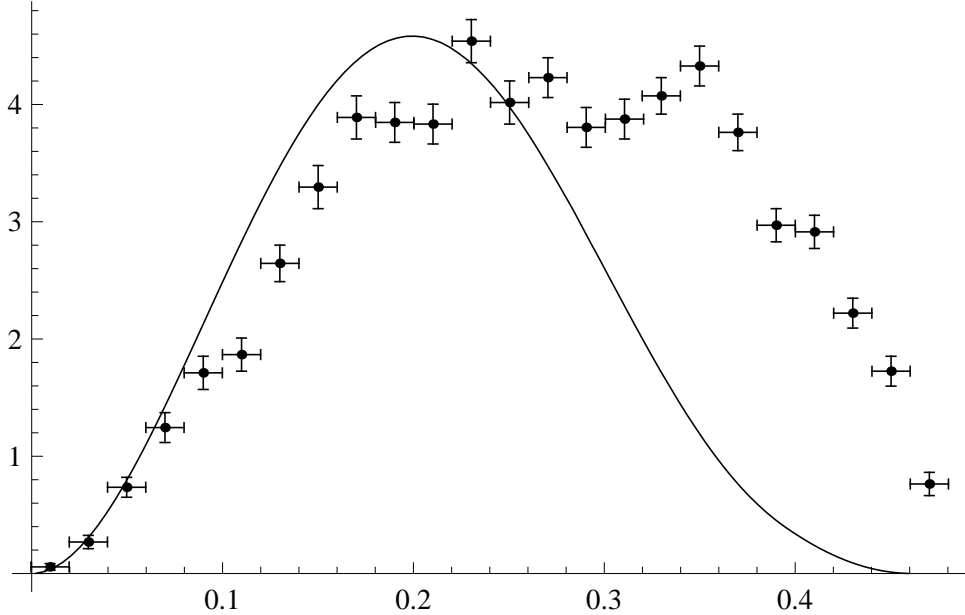
$$p_{max}^{B \rightarrow D^*} = \sqrt{\frac{(m_B^2 + m_D^2)^2}{4m_B^2} - m_D^2} = 2.26 \text{ ГэВ.} \quad (44)$$

Таким образом, найденный спектр занимает область  $x < p_{max}^c/p_{max}^{D^*} = 0.46$ . В сравнении с экспериментальными данными он представлен на рис. 12, из которого видно, что предсказанный спектр сосредоточен в области меньших импульсов, чем экспериментальный. Для наглядности нормировка экспериментальных данных была изменена так, чтобы достичь согласия в области малых  $x$ . Причина расхождения с экспериментом, вероятно, заключается в поправках  $m_c^2/s$ , становящихся большими при столь малой энергии.

Как и спектр  $D^*$ -мезонов, спектр  $\Lambda_C$ -барионов получен по формуле (41). В качестве непертурбативной функции фрагментации для  $\Lambda_C$ -барионов, как и в случае их прямого рождения, использовано выражение (27). Максимальный кинематически разрешенный импульс при энергии  $\sqrt{s} = 10.58$  ГэВ в этом случае равен

$$p_{max}^{\Lambda_C} = \sqrt{s/4 - m_{\Lambda_C}^2} = 4.77 \text{ ГэВ.} \quad (45)$$

При нахождении максимального импульса  $\Lambda_C$ -бариона от распада  $B$  следует учесть, что поскольку барионное число сохраняется, то рождение  $\Lambda_C$  будет сопровождаться рождением по крайней мере одного антибариона.



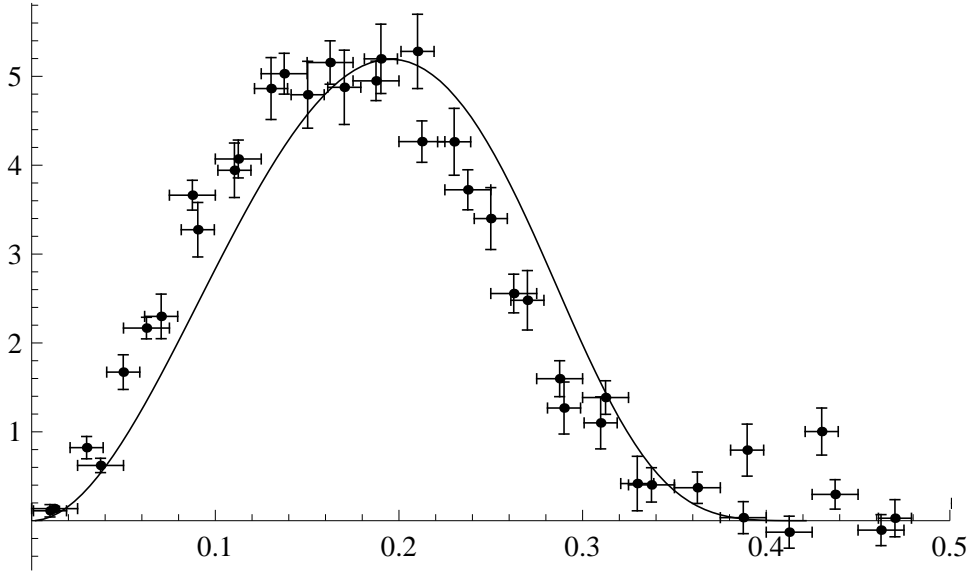
**Рис. 12.** Спектр  $D^*$ -мезонов в  $e^+e^-$ -аннигиляции от фрагментации  $b$ -кварка при  $\sqrt{s} = 10.58$  ГэВ, рассчитанный по формуле (41), в сравнении с экспериментальными данными коллаборации Belle.

Легчайшим барионом является протон. Соответственно максимальный импульс  $\Lambda_C$ -бариона от распада  $B$  равен

$$p_{max}^{B \rightarrow \Lambda_C} = \sqrt{\frac{(m_B^2 + m_{\Lambda_C}^2 - m_p^2)^2}{4m_B^2} - m_{\Lambda_C}^2} = 2.02 \text{ ГэВ}. \quad (46)$$

Это значение заметно отличается от максимального импульса  $c$ -кварка  $p_{max}^c$ .

При вычислении спектра  $\Lambda_C$ -барионов от распада  $B$  максимальный импульс  $c$ -кварка положим равным  $p_{max}^{B \rightarrow \Lambda_C}$ . Соответственно спектр расположен в области  $x < p_{max}^{B \rightarrow \Lambda_C}/p_{max}^{\Lambda_C} = 0.42$ . Его форма хорошо согласуется с экспериментальными данными (рис. 13). То, что теоретический спектр лежит несколько правее, можно объяснить тем, что экспериментальные данные не скорректированы с учетом излучения в начальном состоянии, которое может особенно влиять на область малых импульсов.



**Рис. 13.** Спектр  $\Lambda_C$ -барионов в  $e^+e^-$ -аннигиляции от фрагментации  $b$ -кварка при  $\sqrt{s} = 10.58$  ГэВ, рассчитанный по формуле (41), в сравнении с экспериментальными данными коллабораций BaBar и Belle.

## 5. ЗАКЛЮЧЕНИЕ

В работе рассмотрено рождение  $D^*$ -мезонов и  $\Lambda_C$ -барионов в широком диапазоне энергий. При этом предполагалось, что зависимость от конечной энергии содержится только в пертурбативной функции фрагментации, для которой использовалось выражение в NLO-приближении. Хорошее описание экспериментальных данных по рождению  $D^*$ -мезонов при энергиях 10.2, 35 и 91.2 ГэВ позволяет заключить о отсутствии нарушения факторизации в этом диапазоне энергий.

Важно отметить, что непертурбативные функции (26) и (27) использовались во всех вычислениях с одинаковыми значениями параметров. Это позволяет утверждать, что выполняется разделение пертурбативных и непертурбативных вкладов в фрагментацию. Действительно, пертурбативная составляющая, описывает только рождение тяжелого кварка при данной

энергии, непертурбативная — только переход этого кварка в адрон.

Согласие с экспериментальными спектрами в области  $x \rightarrow 1$  как для мезонов, так и для барионов обусловлено различием только в непертурбативных функциях. Это доказывает зависимость непертурбативной функции от конечной частицы. При этом различия присутствуют только в области  $x \sim 1$ , в которой пертурбативная КХД не применима.

В области малых  $x$  непертурбативные функции очарованных мезонов и барионов совпадают. При этом общий для них параметр  $\alpha_c$ , определяющий асимптотику при  $x \rightarrow 0$ , равен  $-3.5$ , что близко к теоретически предсказываемому значению пересечения ведущей редже-траектории для чарма.

На основании анализа импульсных распределений  $D$ -мезонов, можно заключить что в рамках текущей точности не обнаруживается различий в прямом рождении  $D$  и  $D^*$ -мезонов. Несмотря на то, что для прямого рождения мезонов использовалась одна и та же функция фрагментации, преждевременно говорить и о точном совпадении фрагментационных функций прямого рождения. Дело в том, что основной вклад в различия спектров вносят распады  $D^* \rightarrow DX$ , и он усилен вероятностью рождения  $D^*$  по сравнению с  $D$ .

При рассмотрении распадов  $B$ -мезонов обнаружилось существенное расхождение в спектрах  $D^*$ -мезонов. Вероятно, причина состоит в больших поправках к факторизационной формуле при малых энергиях, а так же в увеличении роли нефрагментационных механизмов. Спектр  $\Lambda_C$ -барионов в распадах  $B$ -мезонов, тем не менее, хорошо согласуется с экспериментом.

Автор признателен А.К. Лиходеду за идею работы и плодотворные обсуждения. Также автор благодарен А.В. Лучинскому за ценные рекомен-

дации и рецензенту А.В. Бережному за справедливые замечания, способствовавшие более глубокому пониманию рассматриваемых вопросов.

## Список Литературы

---

1. Y. L. Dokshitzer, Sov. Phys. JETP **46**, 641 (1977) [Zh. Eksp. Teor. Fiz. **73**, 1216 (1977)].
2. V. N. Gribov and L. N. Lipatov, Sov. J. Nucl. Phys. **15**, 438 (1972) [Yad. Fiz. **15**, 781 (1972)].
3. G. Altarelli and G. Parisi, Nucl. Phys. B **126**, 298 (1977).
4. M. Cacciari and S. Catani, Nucl. Phys. B **617**, 253 (2001) [arXiv:hep-ph/0107138].
5. S. Catani, M. L. Mangano, P. Nason and L. Trentadue, Nucl. Phys. B **478**, 273 (1996) [arXiv:hep-ph/9604351].
6. V. G. Kartvelishvili, A. K. Likhoded and V. A. Petrov, Phys. Lett. B **78**, 615 (1978).
7. V. G. Kartvelishvili and A. K. Likhoded, Sov. J. Nucl. Phys. **29**, 390 (1979) [Yad. Fiz. **29**, 757 (1979)].
8. B. Aubert *et al.* [BABAR Collaboration], Phys. Rev. D **75**, 012003 (2007) [arXiv:hep-ex/0609004].
9. R. Seuster *et al.* [Belle Collaboration], Phys. Rev. D **73**, 032002 (2006) [arXiv:hep-ex/0506068].
10. M. Artuso *et al.* [CLEO Collaboration], Phys. Rev. D **70**, 112001 (2004) [arXiv:hep-ex/0402040].
11. R. Barate *et al.* [ALEPH Collaboration], Eur. Phys. J. C **16**, 597 (2000) [arXiv:hep-ex/9909032].
12. K. Ackerstaff *et al.* [OPAL Collaboration], Eur. Phys. J. C **1**, 439 (1998)

- [arXiv:hep-ex/9708021].
13. W. Braunschweig *et al.* [TASSO Collaboration], Z. Phys. C **44**, 365 (1989).
  14. H. Aihara *et al.* [TPC/Two Gamma Collaboration], Phys. Rev. D **34**, 1945 (1986).
  15. G. Curci, W. Furmanski and R. Petronzio, Nucl. Phys. B **175**, 27 (1980).
  16. B. Mele and P. Nason, Nucl. Phys. B **361**, 626 (1991).
  17. P. V. Chliapnikov, V. G. Kartvelishvili, V. V. Knyazev and A. K. Likhoded, Nucl. Phys. B **148**, 400 (1979).
  18. J. Kuti and V. F. Weisskopf, Phys. Rev. D **4** (1971) 3418.
  19. S. S. Gershtein, A. K. Likhoded and A. V. Luchinsky, Phys. Rev. D **74**, 016002 (2006) [arXiv:hep-ph/0602048].
  20. A. Y. Khodjamirian and A. G. Oganesian, Phys. Atom. Nucl. **56**, 1720 (1993) [Yad. Fiz. **56**, 172 (1993)].
  21. V. G. Kartvelishvili and A. K. Likhoded, Yad. Fiz. **42**, 1306 (1985) [Sov. J. Nucl. Phys. **42**, 823 (1985)].
  22. C. Amsler *et al.* [Particle Data Group], Phys. Lett. B **667**, 1 (2008).